

УДК 533.6.011.6:532.526

**РЕШЕНИЕ ЗАДАЧИ ОБ ОПЛАВЛЕНИИ СТЕКЛОВИДНЫХ
МАТЕРИАЛОВ В РАМКАХ ПОЛНЫХ УРАВНЕНИЙ
ПОГРАНИЧНОГО СЛОЯ**

ЗНАМЕНСКИЙ В. В., ПОЛЯКОВ И. Н.

Течение пленки расплава, возникающей на поверхности стекловидных тел типа кварца при их аэродинамическом разрушении, впервые рассматривалось в [1, 2]. При этом использовалось стоксовское приближение уравнений пограничного слоя, что оправдывалось малой толщиной пленки и малым значением характерного для нее числа Рейнольдса. В дальнейшем подобный подход был развит для расчета процесса разрушения стеклопластиков [3].

Такое описание течения пленки соответствует «предельной теории» — нулевому приближению асимптотической теории, основанной на малости двух основных определяющих параметров задачи [4]. Однако существуют ситуации, например в областях большой кривизны поверхности, когда для расчета течения пленки необходимо использовать полные уравнения пограничного слоя, что с математической точки зрения существенно осложняет задачу.

В настоящей работе разработан численный метод решения соответствующей краевой задачи. Он основан на применении метода Ньютона для решения нелинейных конечно-разностных уравнений и метода матричной прогонки для решения систем линейных уравнений. Приводятся результаты расчетов распределения параметров процесса оплавления по поверхности тел различной формы. Показано, в частности, что учет высших приближений в асимптотическом решении при реальных значениях малых параметров может приводить к снижению точности полученных результатов.

Ранее процесс оплавления стекловидных материалов в рамках полных уравнений пограничного слоя рассматривался только для окрестности критической точки тела, в которой существует автомодельное решение [5, 6].

1. Отличительной особенностью стекловидных материалов типа кварца является сильная зависимость вязкости расплава μ от температуры T , даваемая формулой [3, 7]

$$\mu = \mu(T) = \exp\left(\frac{\theta}{T} - \beta\right), \quad \theta, \beta = \text{const} \quad (1.1)$$

где $\theta \sim 60\,000 - 70\,000 \text{ К} \gg T_* \sim 3000 \text{ К}$, T_* — характерная температура поверхности.

На квазистационарном режиме разрушения, анализом которого ограничивается данная работа, зависимость (1.1) приводит к малости толщины пленки расплава δ по сравнению с толщиной зоны прогрева δ_T , которая в свою очередь ввиду малой температуропроводности этих материалов обычно много меньше характерного размера тела L [3, 4]. В силу малости отношений δ/L и δ_T/L течение расплава и прогрев материала описываются уравнениями пограничного слоя.

Будем рассматривать двумерную задачу — тело плоское ($\nu=0$) или осесимметричное ($\nu=1$). Пусть x, y — криволинейная ортогональная система координат с осями, направленными вдоль касательной и внутренней нормали к поверхности тела. В области $y \sim \delta$ введем безразмерные переменные [4]

$$x = Lx', \quad y = \delta_* y', \quad r = Lr', \quad u = \frac{LD_*}{\delta_*} u'$$

$$\begin{aligned}
 v &= D_* v', & D &= D_* D', & T &= T_* T', & \mu &= \mu_* \mu' \\
 p &= p_* p', & \tau &= \tau_* \tau' = \mu_* \frac{LD_*}{\delta_*^2} \tau', & \delta_* &= k\varepsilon \delta_{T_*} \\
 q &= \rho c_p D_* (T_* - T_\infty) q', & \dot{m}_w &= \rho D_* v_w', & \varepsilon &= \frac{T_*}{\theta} \\
 k &= \frac{T_*}{T_* - T_\infty}, & \delta_{T_*} &= \frac{\lambda}{\rho c_p D_*}, & \mu_* &= \mu(T_*)
 \end{aligned}$$

Здесь r — расстояние до оси симметрии; u, v — компоненты скорости по осям x, y соответственно; D — скорость уноса ($D = -v$ при $y \rightarrow \infty$); \dot{m}_w — массовая скорость испарения с поверхности; p, τ и q — давление, напряжение трения и тепловой поток, действующие на поверхность пленки со стороны газового пограничного слоя; ρ, c_p, λ — плотность, удельная теплоемкость и теплопроводность расплава (для простоты предполагаются постоянными); T_∞ — температура непрогретого материала. Звездочками отмечены характерные значения размерных величин, штрихами — безразмерные величины.

В безразмерных переменных (штрихи в дальнейшем опускаем) уравнения пограничного слоя для пленки и граничные условия примут вид

$$\begin{aligned}
 \frac{\partial r^2 u}{\partial x} + \frac{\partial r^2 v}{\partial y} &= 0 \\
 \kappa \left[u \frac{\partial u}{\partial x} + v \frac{\partial u}{\partial y} \right] &= -K_p \frac{dp}{dx} + \frac{\partial}{\partial y} \mu \frac{\partial u}{\partial y} \quad (1.2)
 \end{aligned}$$

$$\begin{aligned}
 k\varepsilon \left[u \frac{\partial T}{\partial x} + v \frac{\partial T}{\partial y} \right] &= \frac{\partial^2 T}{\partial y^2} \\
 K_p &= \frac{p_* \delta_*}{L \tau_*}, & \kappa &= \frac{\rho D_* \delta_*}{\mu_*}
 \end{aligned}$$

$$\mu \frac{\partial u}{\partial y} = -\tau, \quad \frac{\partial T}{\partial y} = -\varepsilon q, \quad v = -v_w \quad (y=0) \quad (1.3)$$

$$u \rightarrow 0, \quad \frac{\partial T}{\partial y} = -k\varepsilon D (T - T_\infty) \quad (y \rightarrow \infty) \quad (1.4)$$

Здесь учтено, что в зоне прогрева имеет место тривиальное решение системы уравнений (1.2): $u=0, v=-D$.

Начальными условиями для системы (1.2) служат профили v и T при $x=0$, определяемые решением этих уравнений в критической точке с привлечением условий симметрии. Получаемые при этом размерные значения скорости уноса и температуры поверхности удобно принимать в качестве D_* и T_* .

Скорость течения в пленке несоизмеримо мала по сравнению с характерной скоростью в газовом пограничном слое [1–4], поэтому обратное влияние разрушения материала на внешний поток сводится лишь к снижению за счет вдува величин q и τ по сравнению с их значениями q° и τ° на неразрушающейся поверхности.

Уменьшение теплового потока за счет вдува будем определять по простейшей приближенной зависимости, а для вычисления напряжения трения используем аналогию Рейнольдса [3, 8]

$$\begin{aligned}
 \alpha &= \alpha^\circ - B \dot{m}_w \\
 \tau^\circ &= \alpha^\circ \sigma^{-0.8} V_e, & \tau &= \alpha \sigma^{-0.8} V_e \quad (1.5)
 \end{aligned}$$

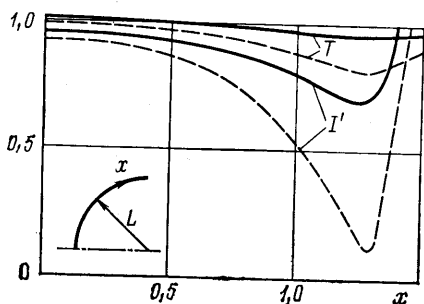
Здесь α и α° — коэффициенты теплообмена при наличии и отсутствии

вдува; B — коэффициент вдува ($B=0,6$ на ламинарном и $B=0,2$ на турбулентном режимах соответственно); σ — число Прандтля, V_e — скорость газа на внешней границе пограничного слоя.

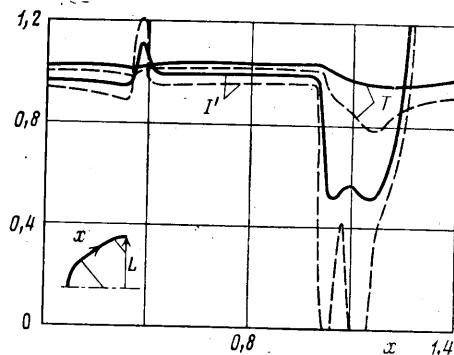
Соотношение теплового баланса дает следующее выражение для q :

$$q = \alpha(H_0 - h_w) - \dot{m}_w Q - q_r \quad (1.6)$$

где H_0 — полная энтальпия в набегающем потоке, h_w — энтальпия газа на поверхности пленки, Q — суммарный тепловой эффект испарения материала, q_r — радиационный поток с поверхности. Соотношения (1.5)–(1.6) для наглядности записаны в размерном виде.



Фиг. 1



Фиг. 2

Величины \dot{m}_w и Q определяются решением системы уравнений, состоящей из закона Кнудсена — Ленгмюра, соотношений материального баланса и закона действующих масс. Это решение достаточно хорошо изучено (см., например, [3]). Здесь будем считать, что зависимости $\dot{m}_w = \dot{m}_w(\alpha^\circ, p, T_w)$ и $Q = Q(\alpha^\circ, p, T_w)$ известны.

Тогда при заданных $\alpha^\circ(x)$ и $p(x)$ соотношения (1.5)–(1.6) замыкают краевую задачу (1.2)–(1.4). Результат решения удобно представлять в виде распределения вдоль поверхности тела эффективной энтальпии материала I , вводимой формально по формуле $I = (q^\circ - q_r) / \rho D$.

Решение задачи (1.2)–(1.4) зависит от параметров ε , κ , k , K_p и безразмерных функций $q^\circ(x)$ и $p(x)$. Пусть режим теплообмена ламинарный. Тогда $\alpha^\circ \sim L^{-0.5}$ и, как нетрудно убедиться, при $q_r \ll q^\circ$ имеет место следующий закон подобия: при отсутствии испарения с поверхности или при реализации так называемого равновесного режима испарения, когда $\dot{m}_w \sim \alpha^\circ$ [3], на геометрически подобных телах значения T_* , $I(x)$, а также распределения безразмерных величин u , v , T совпадают (т. е. не зависят от величины L), $D_* \sim L^{-0.5}$, $\delta_* \sim \sqrt{L}$, $\dot{m}_w \sim L^{-0.5}$.

При турбулентном теплообмене $\alpha^\circ \sim L^{-0.2}$ и закон подобия не имеет места.

2. Для типичных гиперзвуковых условий обтекания величины ε и κ являются малыми, причем обычно $\kappa \ll \varepsilon \ll 1$. Поэтому решение краевой задачи (1.2)–(1.4) можно искать в виде рядов по ε и κ [4]. Решение в нулевом приближении соответствует традиционной, предельной ($\varepsilon, \kappa \rightarrow 0$), пленочной теории разрушения [1–3].

Выпишем два главных (с учетом соотношения $\kappa \ll \varepsilon$) члена в разложении эффективной энтальпии и температуры

$$I = I_0 + \varepsilon I_\varepsilon, \quad T = 1 + \varepsilon T_0 \quad (2.1)$$

При отсутствии испарения с поверхности величина T_0 определяется формулами предельной теории; $I_0 = I_* = \rho c_p D_* (T_* - T_\infty) = \text{const}$, а для I_ε в [9, 10] получено аналитическое выражение, имеющее структуру $I_\varepsilon =$

$=I_\varepsilon(T_{0w}, T'_{0wx}, p_x', p_{xx}'', \alpha_x'')$, которое здесь не приводим ввиду его громоздкости.

На фиг. 1 штриховыми линиями приведены распределения эффективной энтальпии и температуры, вычисленные по формулам (2.1) (при этом $I' = I/I_0$), на поверхности сферы, на фиг. 2 — на поверхности тела, образующая которого имеет участок большой кривизны (форма тела приведена на фигуре). Расчеты выполнены для однородного кварца при скорости набегающего потока (воздуха) 6000 м/с и статическом давлении в нем 0,1 атм. Формально положено $\dot{m}_w = 0$, а режим теплообмена принят ламинарным. Теплофизические характеристики кварца заимствованы из [3].

Определенные в результате расчета значения ε и κ составили $\approx 0,05$ и $\approx 0,0003$ соответственно, т. е. ε и κ достаточно малы. Из приведенных на фиг. 1–2 зависимостей следует, что при этом и $\varepsilon T_0 \ll 1$. В тоже время даже на таком гладком теле, как сфера, поправка $\varepsilon I_\varepsilon$ в формуле (2.1) соизмерима с членом нулевого порядка I_0 . Отсюда следует, что применение разложений по ε и κ в целом и традиционной пленочной теории в частности при реальных значениях ε и κ требует, по крайней мере, дополнительного обоснования.

3. При численном решении задачи введем новые независимые переменные $X = x$ и $Y = f(x)y$. Функция $f(x)$ выбирается из условия, чтобы нижняя граница расчетной области $Y = Y_N$ всегда располагалась на расстоянии нескольких δ от поверхности тела, что позволяет использовать на этой границе условия (1.4). Целесообразность используемого преобразования обусловлена тем обстоятельством, что величина $\delta \sim 1/q$ [2, 4] и, следовательно, может значительно меняться вдоль поверхности тела.

Введем в прямоугольной расчетной области $G\{0 \leq X \leq X_M; 0 \leq Y \leq Y_N\}$ сетку $G_{ij}\{X_i, Y_j\}$, шаги которой могут, вообще говоря, меняться от слоя к слою. Аппроксимируем уравнения (1.2), предварительно записанные в дивергентной форме, конечно-разностными, используя стандартный двухслойный шеститочечный шаблон [11]. При $s=1$ (s — вес, с которым при аппроксимации производных по Y используются производные на новом слое i) схема переходит в полностью неявную на четырехточечном шаблоне. Необходимое условие устойчивости $s \geq 0,5$.

Сильная зависимость вязкости расплава от температуры обуславливает настолько сильную «перевязанность» уравнений движения и энергии, что, как показал опыт работы над программой, традиционный для задач пограничного слоя метод последовательных прогонок [11] здесь оказывается неустойчивым. (При умеренной зависимости $\mu(T)$, например $\mu \sim 1/T$, соответствующий алгоритм устойчив, что показали специально проведенные методические расчеты). Устойчивость счета была достигнута при использовании метода Ньютона в совокупности с методом матричной прогонки [12] для решения соответствующих линейных уравнений. Вкратце схема решения при этом такова.

Пусть значения параметров на $i-1$ слое известны. Их значения f_{ij} ($f = u, v, T$) на слое i будем искать в процессе итераций, для чего положим $f_{ij}^{(k+1)} = f_{ij}^{(k)} + (\delta f)_{ij}^{(k)}$,

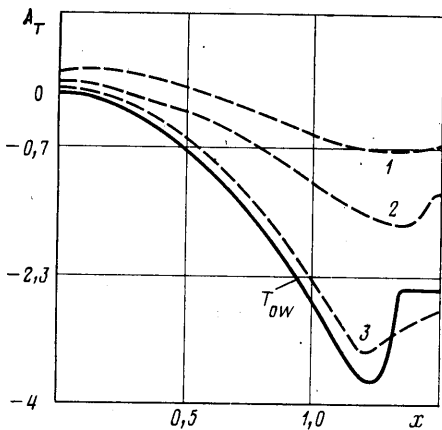
$j = 0, 1, \dots, N$, где k — номер итерации. Подставляя $f_{ij}^{(k+1)}$ в конечно-разностные уравнения и проводя линеаризацию полученных соотношений в предположении малости $(\delta f)_{ij}^{(k)}$, получим систему линейных уравнений относительно $W_j = \{(\delta u)_j, (\delta v)_j, (\delta T)_j\}$, матрица которой блочно-тредиагональна (индексы i, k ниже для краткости опускаем). Аналогичным образом линеаризуются конечно-разностные аппроксимации граничных условий.

Несмотря на блочно-тредиагональную структуру полученной системы, применение метода матричной прогонки для ее решения на этом этапе еще невозможно — отсутствие граничного условия для v на нижней границе не позволяет организовать обратную прогонку (прямая прогонка естественным образом начинается от верхней границы $Y=0$). Нетрудно однако убедиться, используя линеаризованное уравнение неразрывности и формально записанные прогоночные соотношения для $U_j = \{(\delta u)_j, (\delta T)_j\}$, что для каждого $1 \leq j \leq N$ существует связь вида

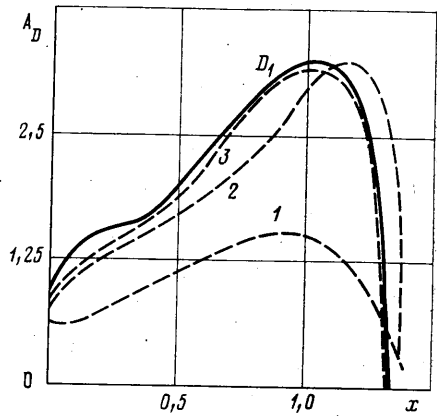
$$(\delta v)_j = V_j^1 (\delta u)_j + V_j^2 (\delta T)_j + V_j^3 \quad (3.1)$$

Коэффициенты V_j^n ($n=1, 2, 3$) определяются через коэффициенты линеаризованного уравнения неразрывности на слое j , элементы прогоночных матриц на слое $j-1$ и V_{j-1}^n .

Исключая с помощью соотношений (3.1) величины $(\delta v)_j$, приходим к системе векторных уравнений относительно U_j ($0 \leq j \leq N$). Решая эти уравнения методом



Фиг. 3



Фиг. 4

матричной прогонки, находим значения (δf) . Затем процесс итерирования продолжается до сходимости.

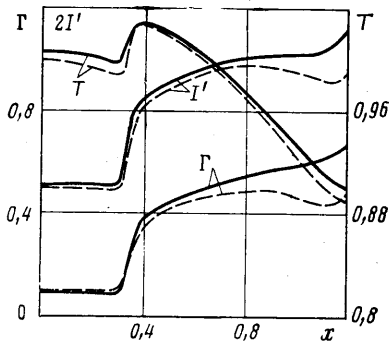
Описанный метод реализован в АЛГОЛ-программе для ЭВМ БЭСМ-6. Время счета типичного варианта при сетке 80×30 и $\dot{m}_w = 0$ составляет 1–2 мин, с учетом испарения – 3–4 мин.

Разработанный метод численного решения задачи связан с выводом и программированием весьма громоздких формул, поэтому вопрос проверки программы является принципиальным. Требования, предъявляемые программой к памяти ЭВМ, не обременительны, поэтому прежде всего была использована возможность проверки сходимости результатов счета при мельчении шагов сеток (как равномерных, так и неравномерных), а также независимости их от выбора функции $f(x)$. Кроме того, была проведена следующая апробация программы.

Запишем разложения скорости уноса D и температуры поверхности пленки T_w в ряды по ε и κ в виде

$$\frac{D - D_0}{\varepsilon} = D_\varepsilon + \frac{\kappa}{\varepsilon} D_{\kappa} + O\left(\varepsilon, \kappa, \frac{\kappa^2}{\varepsilon}\right) \quad (3.2)$$

$$\frac{T_w - 1}{\varepsilon} = T_{0w} + \varepsilon T_{\varepsilon w} + \kappa T_{\kappa w} + O(\varepsilon, \kappa)$$



Фиг. 5

На фиг. 3 и 4 представлены результаты специально проведенной серии расчетов при $\varepsilon, \kappa/\varepsilon \rightarrow 0$. Сплошными линиями изображены распределения T_{0w} и D_ε по поверхности сферы ($\dot{m}_w = 0$, теплообмен ламинарный), штриховыми – значения величин $A_T = (T_w - 1)/\varepsilon$ и $A_D = (D - D_0)/\varepsilon$, T_w и D – результат численного

решения системы (1.2)–(1.4) ($1 - \varepsilon = \varepsilon_0$, $\kappa = \kappa_0$; $2 - \varepsilon = \varepsilon_0/5$, $\kappa = \kappa_0/25$; $3 - \varepsilon = \varepsilon_0/10$, $\kappa = \kappa_0/100$). Численные расчеты при этом проведены на очень мелких сетках со специальным увеличением точности сходимости итераций (относительная погрешность $\delta f/f \ll \varepsilon$). Видно, что результаты расчетов находятся в удовлетворительном соответствии с соотношениями (3.2).

4. На фиг. 1–2 сплошными линиями приведены распределения эффективной энтальпии и температуры при $\dot{m}_w = 0$, полученные с помощью разработанного численного метода. Видно, что в окрестности критической точки эти значения близки к полученным в рамках асимптотической теории. Однако падение эффективной энтальпии при удалении от критической точки в точном решении значительно меньше предсказываемого первым приближением асимптотической теории – точное значение эффективной энтальпии здесь гораздо ближе к значению $I = I_0 = \text{const}$, даваемому предельной теорией.

На фиг. 5 приведены распределения I , T_w и коэффициента газификации Γ на поверхности сферы при учете испарения с поверхности. Условия

обтекания те же, что и на фиг. 1, 2. Предполагается, что на участке $0,3 \leq x/L \leq 0,4$ происходит переход от ламинарного режима теплообмена к турбулентному. Сплошные линии — расчет в постановке настоящей работы, штриховая линия — результат предельной теории. Видно, что определяющее влияние на распределение эффективной энтальпии оказывает увеличение газификации при переходе.

Авторы благодарят В. В. Лунева за внимание к работе и полезные обсуждения.

ЛИТЕРАТУРА

1. *Саттон*. Гидродинамика и теплообмен оплавающейся поверхности.— Вопросы ракетной техники, 1958, № 5, с. 37–45.
2. *Беге, Адамс*. Теория абляции стекловидных материалов.— Вопросы ракетной техники, 1960, № 2, с. 63–79.
3. *Полежаев Ю. В., Юревич Ф. Б.* Тепловая защита. М.: Энергия, 1976. 391 с.
4. *Знаменский В. В., Лунев В. В.* Об асимптотических свойствах уравнений пленочной теории разрушения материалов в задачах об изменении формы тел при аэродинамическом нагреве.— Изв. АН СССР. МЖГ, 1981, № 1, с. 46–54.
5. *Тирский Г. А.* Оплавление тела в окрестности критической точки в плоском и осесимметричном потоке газа.— Журн. вычисл. математики и матем. физики, 1961, т. 1, № 3, с. 481–498.
6. *Тирский Г. А.* Оплавление тела в окрестности критической точки и линии в диссоциированном потоке воздуха с испарением пленки расплава.— ПМТФ, 1961, № 5, с. 39–52.
7. *Френкель Я. И.* Кинетическая теория жидкостей. М.—Л.: Изд-во АН СССР, 1945. 424 с.
8. Основы теплопередачи в авиационной и ракетно-космической технике. М.: Машиностроение, 1975. 623 с.
9. *Hidalgo H.* Ablation of glassy material around blunt bodies of revolution.— ARS Journal, 1960, v. 30, № 9, p. 806–814.
10. *Горский В. В., Полежаев Ю. В.* О некоторых особенностях, связанных с течением пленки расплава.— Теплофиз. высоких температур, 1966, т. 4, № 2, с. 218–227.
11. *Пасконов В. М., Полежаев В. И., Чудов Л. А.* Численное моделирование процессов тепло- и массообмена. М.: Наука, 1984. 285 с.
12. *Самарский А. А., Николаев Е. С.* Методы решения сеточных уравнений. М.: Наука, 1978. 591 с.

Москва

Поступила в редакцию
18.XII.1984